

# ПАРАЛЛЕЛЬНЫЙ АЛГОРИТМ МОДЕЛИРОВАНИЯ ТРЕХМЕРНОГО ТЕЧЕНИЯ СТОКСА МЕТОДОМ ГРАНИЧНЫХ ЭЛЕМЕНТОВ

Э. Н. Середин, Д. Г. Прибыток

Объединённый институт проблем информатики Национальной Академии Наук Беларуси

Гданьский Политехнический Университет

Минск, Республика Беларусь; Гданьск, Польша

E-mail: {eduard.seredin, dpribytok}@tut.by

*Рассматривается применение технологии параллельных вычислений для моделирования трёхмерного течения вязкой жидкости (течение Стокса) прямым методом граничных элементов. Решение задачи строится в три этапа: дискретизация и построение СЛАУ, её решение и нахождение вектора скорости жидкости в заданных точках. Для построения СЛАУ и нахождения вектора скорости были разработаны и реализованы параллельные алгоритмы с помощью технологии программирования видеокарт CUDA. Проведено сравнение временных затрат для алгоритмов на примере расчёта движения вязкой жидкости в трёхмерной каверне.*

## ВВЕДЕНИЕ

Для многих научных, инженерных и прикладных задач имеется достаточно большое количество алгоритмов, для которых довольно успешно разрабатываются их параллельные аналоги [1, 2]. Ниже рассматривается создание параллельного алгоритма на примере моделирования трехмерных течений Стокса и проводится сравнительный анализ быстродействия отдельных частей алгоритма с их последовательными версиями.

### I. КРАТКОЕ ОПИСАНИЕ АЛГОРИТМА

Течение Стокса [3, 4] – это модель движения жидкости, которая выводится из уравнений Навье-Стокса при допущении малости числа Рейнольдса,  $Re \ll 1$ . Данная модель может использоваться для описания течения вязких полимеров, в теории смазки, течения лавы, для моделирования движения крови в организме человека и т. д. Математическая модель для трёхмерного случая может быть представлена в интегральной форме

$$\xi(x_0) \cdot u_j(x_0) = -\frac{1}{\mu} \oint_{\Omega} \phi_i(x) \cdot G_{ij}(x_0 - x) d\Omega \cdot \oint_{\Omega} u_i \cdot T_{ijk}(x_0 - x) \cdot n_k(x) d\Omega, \quad (1)$$

где  $i, j, k$  могут принимать значения 1, 2, 3,  $u$  – трёхмерный вектор скорости жидкости,  $\mu = const$  – коэффициент динамической вязкости жидкости,  $\Omega$  – граница области решения,  $x$  – точка, принадлежащая  $\Omega$ ,  $n(x)$  – вектор внешней нормали к  $\Omega$  в точке  $x$ ,  $x_0$  – произвольная точка пространства,  $\xi(x_0)$  – весовая функция,  $G_{ij}(r)$  – тензорный потенциал Стокса [5],  $T_{ijk}(r)$  – тензор, ассоциированный с  $G_{ij}$ ,  $\phi_i(x)$  – вектор напряжений на границе  $\Omega$  в точке  $x$ .

Решение строится методом граничных элементов [4, 6], главной особенностью которого

является необходимость в дискретизации лишь границы области решения, что уменьшает количество дискретных элементов (граничных элементов - ГЭ), а также позволяет решать задачи в областях со сложной геометрией, как например, в случае многосвязных областей [7]. Основным недостатком метода является большая потребность в оперативной памяти, вытекающая из высокой плотности матрицы СЛАУ, которая имеет размер  $3N \cdot 3N$ , где  $N$  – количество ГЭ.

### II. ПОСЛЕДОВАТЕЛЬНЫЙ АЛГОРИТМ

Разобьем границу трехмерной области на  $N$  граничных элементов, представляющих собой пространственные прямоугольники либо треугольники. В центре каждого ГЭ зададим локальную систему координат. Будем предполагать, что функции напряжений  $\phi_i(x)$  являются на нём постоянными. Для каждого ГЭ зададим в качестве граничного условия вектор скорости. В уравнении (1), поочередно помещая рассматриваемую точку  $x_0$  в центры полученных элементов, получим следующий вид интегрального уравнения:

$$u(\xi_0^p) = -\frac{1}{4\pi\mu} \sum_{q=1}^N [\tilde{\phi}(\xi_0^q) \cdot A_{qp} \cdot \int \int_{S_q} G_{ij}(r_{pq}) dS_q] + \frac{1}{4} I^K(\xi_0^p), \quad (2)$$

$$I^K(\xi_0^p) = \sum_{q=1}^N [\tilde{u}(\xi_0^q) \cdot$$

$$\cdot A_{qp} \cdot \int \int_{S_q} T_{ijk}(r_{pq}) \cdot (0, 0, 1) dS_q], \quad (3)$$

где  $r_{pq} = A_{gq} \cdot (\xi_0^q - \xi_0^p) - (\xi_x, \xi_y, 0)$ ,  $i, j, k = 1, 2, 3$ ,  $p, q = 1, 2, 3, \dots, N$ ,  $\xi_0^p, \xi_0^q$  – центры элементов с индексами  $p, q$ ,  $A_{qp}$  – матрица перехода от  $q$ -й к  $p$ -й системе координат,  $A_{gq}$  – матрица перехода от глобальной к  $q$ -й системе координат,  $S$  – область

ГЭ, определенная в его декартовой системе координат  $O\xi_x\xi_y$ .

В результате получается система линейных уравнений относительно неизвестных значений  $\phi$

$$C \cdot \phi = B, \quad (4)$$

$$C_{pq} = \frac{1}{4\pi\mu} A_{qp} \cdot \int \int_{S_q} G_{ij}(r_{pq} dS_q), \quad (5)$$

$$B_p = -\tilde{u}_p + \frac{1}{4} \sum_{q=1}^N [\tilde{u}(\xi_0^q) \cdot A_{qp} \cdot \int \int_{S_q} T_{ijk}(r_{pq}) \cdot (0, 0, 1) dS_q]. \quad (6)$$

После решения СЛАУ (4) скорость в любой точке  $x$  внутри области решения можно найти из выражения:

$$u(x) = \sum_{q=1}^N A_{qg} \cdot (\tilde{u}(\xi_0^q) \cdot U_q(x) - \tilde{\phi}(\xi_0^q) \cdot F_q(x)), \quad (7)$$

$$U_q(x) = \frac{1}{8} \int \int_{S_q} G_{ij}(r_{xq} dS_q), \quad (8)$$

$$F_q(x) = \frac{1}{8\pi\mu} \int \int_{S_q} T_{ijk}(r_{xq}) \cdot (0, 0, 1) dS_q, \quad (8)$$

$r_{xq} = A_{gq} \cdot (x - \xi_0^q) - (\xi_x, \xi_y, 0)$ ,  $A_{gq}$  - матрица перехода от  $q$ -й к глобальной системе координат.

### III. ПАРАЛЛЕЛЬНЫЙ АЛГОРИТМ ПОСТРОЕНИЯ СЛАУ

Преимуществом параллельного алгоритма построения СЛАУ (4) с помощью технологии программирования видеокарт CUDA является возможность вычислять коэффициенты матрицы полностью независимо друг от друга, параллельно. Для свободного члена (6) необходимо применять специальную методику вычисления суммы, называемую редукцией [8]. Ускорение расчетов, получаемое от разработанного параллельного алгоритма заполнения матрицы, будет зависеть от используемой видеокарты с поддержкой технологии CUDA.

### IV. ПАРАЛЛЕЛЬНЫЙ АЛГОРИТМ НАХОЖДЕНИЯ СКОРОСТИ В ЗАДАННЫХ ТОЧКАХ

После нахождения неизвестных значений напряжений необходимо использовать выражение (7) для поиска скоростей жидкости в наборе заданных точек. Создается прямоугольная сетка блоков размером  $N \cdot M$ , где  $M$  – общее число точек, для которых необходимо найти вектор скорости потока. В память видеокарты помещаются массивы: граничных элементов, граничных условий, найденных значений напряжений  $\phi$  и координат точек для которых необходимо найти скорости жидкости. Для каждой нити в блоке с координатами  $(q, i)$  ставится в соответствие и вычисляется значение слагаемого суммы  $A_{qg} \cdot [\tilde{u} \cdot U_q(x_i) + \tilde{\phi}_q \cdot F_q(x_i)]$ . По аналогии с вычислением свободного члена СЛАУ используется методика редукции для вычисления суммы (7).

### V. ТЕЧЕНИЕ ВЯЗКОЙ ЖИДКОСТИ В ТРЕХМЕРНОЙ КАВЕРНЕ

Для алгоритма построения СЛАУ ускорение работы программы при использовании видеокарты достигает до 200 раз, для алгоритма решения СЛАУ – до 943 раз, для алгоритма поиска вектора скорости в заданных точках – до 242 раз.

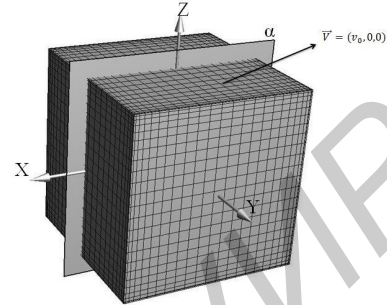


Рис. 1 – Граничноэлементная сетка каверны

### VI. ЗАКЛЮЧЕНИЕ

Полученные результаты показывают [11], что за счет применения параллельных алгоритмов можно существенно увеличить скорость вычислений, связанных с моделированием трёхмерного течения Стокса, что может быть особенно полезно в динамических задачах.

### СПИСОК ЛИТЕРАТУРЫ

1. Сандерс, Дж. Технология CUDA в примерах: введение в программирование графических процессоров / Дж. Сандерс, Э. Кэндрот // Москва: ДМК Пресс. – 2011. – 232 с.
2. Середин, Э.Н. Фильтрация и корреляционная обработка изображений с помощью технологии CUDA / Э.Н. Середин, Б.А. Залесский // Весці НАН Беларусі. Сер. физ.-мат. навук. – 2015. – №1. – С. 106-116.
3. Brebbia, C. A. Boundary Element Methods in Engineering / C.A. Brebbia // Springer-Verlag. – 1982.
4. Pozrikidis, C. Boundary Integral and Singularity Methods for Linearized Viscous Flow / C. Pozrikidis // Cambridge University Press. – 1992.
5. Lisicki, M. Four approaches to hydrodynamic Green's functions - the Oseen tensors / M. Lisicki // Institute of Theoretical Physics, Faculty of Physics, University of Warsaw. – 2013.
6. Cheng, A. Heritage and early history of the boundary element method / A. Cheng // Elsevier Science. – 2003.
7. Katsikadelis, J. Boundary Elements: Theory and Applications / J. Katsikadelis // Elsevier Science. – 2002.
8. Боресков, А.В. Технология CUDA в примерах: введение в программирование графических процессоров / А.В. Боресков, А.А. Харламов // Москва: ДМК Пресс. – 2010. – 232 с.
9. CUDA Toolkit Documentation [Электронный ресурс] / Режим доступа: <http://docs.nvidia.com/cuda/index.html>. – Дата доступа: 20.01.2016.
10. CUDA Toolkit Documentation [Электронный ресурс] / Режим доступа: <http://docs.nvidia.com/cuda/cusolver/index.html>. – Дата доступа: 20.01.2016.
11. Прибыток, Д.Г. Параллельный алгоритм моделирования трехмерного течения стокса методом граничных элементов / Д.Г. Прибыток, Э.Н. Середин // Информатика. – 2016. – №2. – С. 52-58.